

## Derivate des Sila-Mephenhydramins und Sila-Chlorphenoxamins

Sila-Pharmaka, 5. Mitt.<sup>1</sup>

Von

Reinhold Tacke<sup>2</sup> und Ulrich Wannagat

Institut für Anorganische Chemie, Technische Universität Braunschweig,  
Bundesrepublik Deutschland

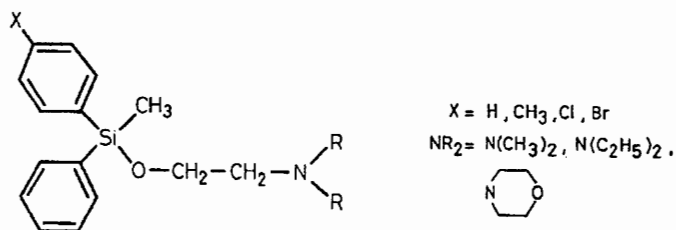
(Eingegangen am 10. Mai 1976)

### *Derivatives of Sila-Mephenhydramine and Sila-Chlorphenoxamine*

Derivatives **A** and **B** of the two sila-antihistamines sila-mephenhydramine and sila-chlorphenoxamine were synthesized for the first time by the steps shown in scheme 1. They and their precursors **III** and **IV** were characterized by their physical (Table 1) and chemical properties and their structures confirmed by NMR and mass spectroscopy (Tables 2 and 3). Their pharmacological effects were investigated and compared with those of the corresponding sila-antihistamines.

### 1. Einführung

In früheren Arbeiten<sup>3–5</sup> haben wir über die Darstellung und Eigenschaften einiger Silicium-Analoga der Benzhydryläther-Antihistaminika des Struktur-Typs



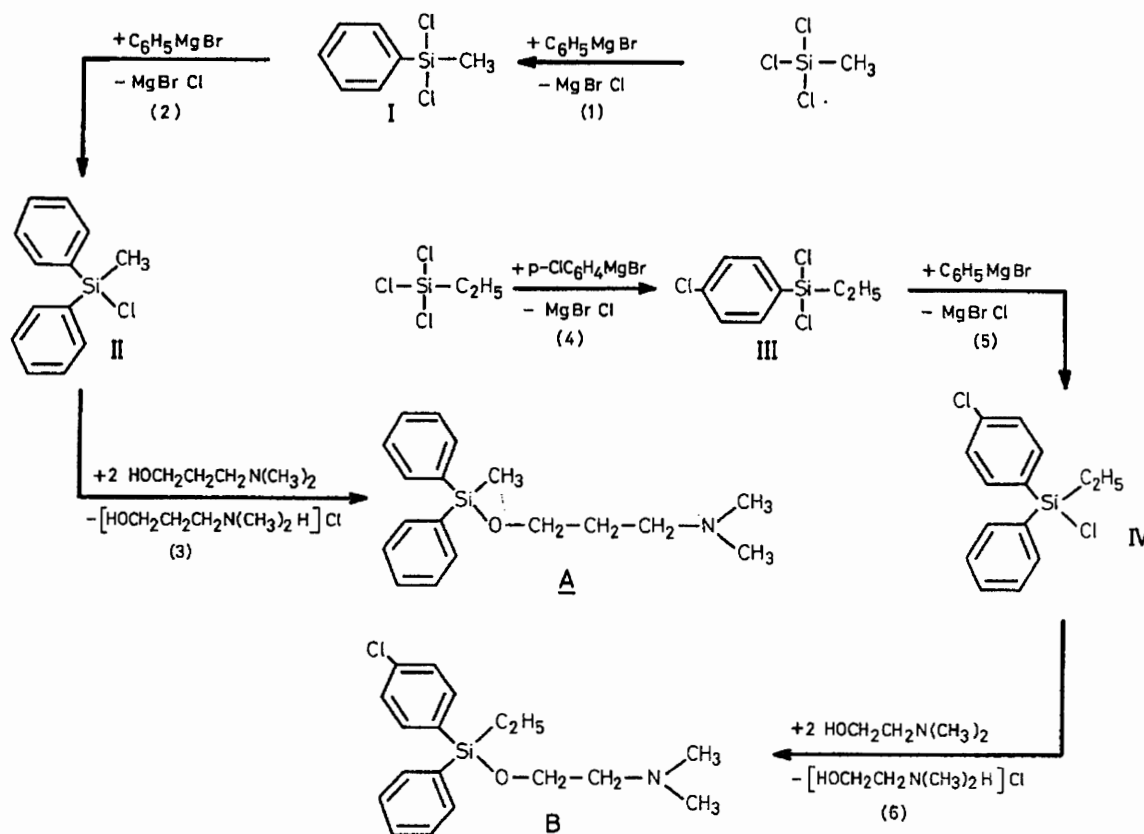
berichtet.

Die einzelnen Vertreter dieser über  $X$  und  $R$  variierten Verbindungsklasse zeigen ein weitgehend einheitliches pharmakologisches Wirkungsbild<sup>6</sup>. Die  $\text{ED}_{50}$ -Werte der untersuchten Wirkqualitäten werden durch die Substituenten  $X$  und  $R$  nicht sehr stark beeinflusst. Die gefundenen Struktur—Wirkungsbeziehungen der Si-Verbindungen decken sich dabei weitgehend mit denen der C-Analoga.

In Fortführung unserer Untersuchungen an Sila-Benzhydryläthern wurden zusätzliche Änderungen am oben genannten Struktur-Typ vorgenommen und untersucht:

1. Verlängerung der Aminoalkoxygruppe im Sila-Mephenhydramin ( $X = H$ ,  $R = CH_3$ ) um eine  $CH_2$ -Gruppe ( $\rightarrow A$ ).

Skizze 1. Zur Darstellung der Derivate A und B des Sila-Mephenhydramins und Sila-Chlorphenoxamins



2. Austausch der am Si-Atom gebundenen Methylgruppe im Sila-Chlorphenoxamin ( $X = Cl$ ,  $R = CH_3$ ) durch eine Äthylgruppe ( $\rightarrow B$ ).

Über die Darstellung und Eigenschaften entsprechender Verbindungen wird im folgenden berichtet.

## 2. Zur Darstellung der neuen Sila-Benzhydryläther und ihrer Vorstufen

A wurde, von Methyltrichlorsilan ausgehend, nach bekanntem Verfahren durch Umsetzung mit Phenylmagnesiumbromid (Rkk. 1 und 2) in zwei Stufen und anschließende Umsetzung mit 3-Dimethylamino-propanol (Rk. 3) erhalten (siehe Skizze 1).

Analog wurde **B** dargestellt: Die Umsetzung von Äthyltrichlorsilan mit *p*-Chlorphenylmagnesiumbromid (Rk. 4) führt zunächst zu III, das sich durch erneute Behandlung mit Phenylmagnesiumbromid (Rk. 5) in IV überführen läßt. Dieses reagiert mit 2-Dimethylaminoäthanol (Rk. 6) zu **B** (siehe Skizze).

### Experimenteller Teil

Die Darstellung von I—IV sowie **A** und **B** erfolgte in der gleichen Weise wie bei den in früheren Arbeiten<sup>3-5</sup> beschriebenen analogen Verbindungen. Für exper. Details sei auf <sup>2-4</sup> verwiesen.

Tabelle 1. *Physikalische und elementaranalytische<sup>b</sup> Daten der neu dargestellten Verbindungen*

Lfd. Nr.	Summenformel	Molgew. ber. <sup>a</sup>	Sdp. [°C]	Sdp. [Torr]	$D_4^{20}$	$n_D^{20}$	% C ber. gef.		% H ber. gef.	
III	C <sub>8</sub> H <sub>9</sub> Cl <sub>3</sub> Si	239,61	109	5	1,2551	1,5346	40,10	39,50	3,79	3,45
IV	C <sub>14</sub> H <sub>14</sub> Cl <sub>2</sub> Si	281,26	115	0,1	1,1724	1,5783	59,79	59,80	5,02	5,01
<b>A</b>	C <sub>18</sub> H <sub>25</sub> NOSi	299,49	134—135	0,4	0,9987	1,5352	72,19	71,42	8,41	8,22
<b>B</b>	C <sub>18</sub> H <sub>24</sub> ClNOSi	333,94	128—129	0,05	1,0738	1,5468	64,74	65,20	7,24	7,45

<sup>a</sup> Bestätigt durch Molpeak im Massenspektrum (Tab. 3).

<sup>b</sup> Weitere elementaranalytische Daten sind in <sup>2</sup> aufgeführt.

*p*-Chlorphenyl-äthyl-dichlorsilan (III): Gemäß Rk. (4) durch Zutropfen einer Lösung von 0,4 Mol *p*-Chlorphenylmagnesiumbromid in 360 ml Diäthyläther (= *Ä*) zu 65,4 g (0,4 Mol) Äthyltrichlorsilan in 200 ml *Ä*. Ausb. 46 g III (48%).

*p*-Chlorphenyl-äthyl-phenyl-chlorsilan (IV): Gemäß Rk. (5) durch Zutropfen einer Lösung von 0,2 Mol Phenylmagnesiumbromid in 180 ml *Ä* zu 47,9 g (0,2 Mol) III in 100 ml *Ä*. Ausb. 25,9 g IV (46%).

*N,N*-Dimethyl-3-(methyl-diphenylsilyloxy)-propylamin (**A**): Gemäß Rk. (3) durch Zutropfen einer Lösung von 23,3 g (0,1 Mol) II in 150 ml Petroläther (40—65 °C = *PÄ*) zu 61,9 g (0,6 Mol) 3-Dimethylaminopropanol in 200 ml *PÄ*. Ausb. 23 g **A** (76,8%).

*N,N*-Dimethyl-2-(*p*-chlorphenyl-äthyl-phenylsilyloxy)-äthylamin (**B**): Gemäß Rk. (6) durch Zutropfen einer Lösung von 28,1 g (0,1 Mol) IV in 150 ml *PÄ* zu 53,5 g (0,6 Mol) 2-Dimethylaminoäthanol in 200 ml *PÄ*. Ausb. 26,4 g **B** (79%).

### 3. Chemische und physikalische Eigenschaften sowie Strukturermittlung

Die Vorstufen III und IV (Eigenschaften von I und II siehe in <sup>3</sup>) sind wasserklare, hydrolyseempfindliche Flüssigkeiten, die sich gut in den gängigen inerten organischen Solventien lösen.

III und IV wurden bisher noch nicht in der Literatur beschrieben. Es wird lediglich ein Gemisch von isomeren Verbindungen des Typs  $C_2H_5(ClC_6H_4)SiCl_2$  erwähnt<sup>7</sup>, das aus einer Chlorierung von  $C_2H_5(C_6H_5)SiCl_2$  hervorgegangen ist.

A und B sind ölige Flüssigkeiten, die sich ebenfalls gut in den üblichen inerten organischen Lösungsmitteln lösen. Die Wasserlöslichkeit und das Hydrolyseverhalten (Spaltung der Si—OC-Bindung) dieser Verbindungen ist ähnlich wie bei den schon früher von uns beschriebenen Sila-benzhydryl-äthern<sup>3-5</sup>.

Tabelle 2.  $^1H$ -NMR-Spektren der neu dargestellten Verbindungen. Chemische Verschiebungen in  $\delta$  [ppm], Lösungsmittel:  $CCl_4$ , Standard intern: TMS

Lfd. Nr.	$\delta$	Multiplizität	rel. Intens.	Zuordnung
III	0,7—1,5	m	5	$SiC_2H_5$
	7,47 <sup>a</sup>	m	4	$SiC_6H_4Cl$
IV	0,7—1,5	m	5	$SiC_2H_5$
	7,0—7,8	m	9	$SiC_6H_5$ , $SiC_6H_4Cl$
A	0,58	s	3	$SiCH_3$
	1,3—2,5	m	} 10	$CCH_2CH_2N$
	2,06	s		$N(CH_3)_2$
	3,69	t	2	$OCH_2C$
	7,0—7,8	m	10	$Si(C_6H_5)_2$
B	1,0—1,5	m	5	$SiC_2H_5$
	2,10	s	6	$N(CH_3)_2$
	2,38	t	2	$CCH_2N$
	3,69	t	2	$OCH_2C$
	7,0—7,7	m	9	$SiC_6H_5$ , $SiC_6H_4Cl$

<sup>a</sup> Zentrum des  $AA'BB'$ -Systems.

Zur Strukturermittlung von III, IV, A und B wurden neben den Elementaranalysen vor allem  $^1H$ -NMR-Spektren und Massenspektren herangezogen. Die jeweiligen spektroskopischen Daten, die den in früheren Mitteilungen beschriebenen Spektren weitgehend entsprechen, sind in Tab. 2 und Tab. 3 aufgeführt.

#### 4. Pharmakologische Eigenschaften der Sila-benzhydryl-äther A und B

Die pharmakologischen Untersuchungen wurden in enger Zusammenarbeit am Institut für Pharmakologie und Toxikologie der Technischen Universität Braunschweig von H.-U. Rossée und F. Meyer durchgeführt. Für ausführliche Informationen sei auf die Dissertation Rossée verwiesen<sup>6</sup>.

In-vitro-Versuche am isolierten Meerschweinchen-Ileum ergaben, daß die neu dargestellten Verbindungen A und B sowohl histaminolytische als auch anticholinerge und muskulotrop spasmolytische Eigenschaften besitzen<sup>6</sup>. Der Vergleich der entsprechenden ED<sub>50</sub>-Werte von

Tabelle 3. *Einige charakteristische Schlüsselbruchstücke aus den Massenspektren der neu dargestellten Verbindungen. Probeneinführung durch Hochtemperatureinlaß (III) und Direkteinlaß (IV, A, B), Elektronenstoßionisierung mit 70 eV*

Lfd. Nr.	<i>m/e</i>	relative Intensität	Isotopenmuster	Ion
III	238/240/242/244	17/17/6/1	Cl <sub>3</sub>	$M^+$
	209/211/213/215	99/100/35/6	Cl <sub>3</sub>	$M^+ - C_2H_5^a$
	63/65	30/11	Cl	SiCl <sup>+</sup>
IV	280/282/284	15/13/3	Cl <sub>2</sub>	$M^+$
	251/253/255	100/67/15	Cl <sub>2</sub>	$M^+ - C_2H_5^b$
	63/65	34/12	Cl	SiCl <sup>+</sup>
A	299	24		$M^+$
	284	1		$M^+ - CH_3$
	199	3		Si(C <sub>6</sub> H <sub>5</sub> ) <sub>2</sub> OH <sup>+</sup>
	197	10		$M^+ - OCH_2CH_2CH_2N(CH_3)_2$
	105	5		SiC <sub>6</sub> H <sub>5</sub> <sup>+</sup>
	77	3		C <sub>6</sub> H <sub>5</sub> <sup>+</sup>
	58	100		CH <sub>2</sub> = N <sup>+</sup> (CH <sub>3</sub> ) <sub>2</sub>
B	333/335	17/5	Cl	$M^+$
	304/306	7/2	Cl	$M^+ - C_2H_5$
	245/247	3/1	Cl	$M^+ - OCH_2CH_2N(CH_3)_2$
	233/235	16/5	Cl	Si(C <sub>6</sub> H <sub>4</sub> Cl)(C <sub>6</sub> H <sub>5</sub> )OH <sup>+</sup>
	105	16		SiC <sub>6</sub> H <sub>5</sub> <sup>+</sup>
	77	7		C <sub>6</sub> H <sub>5</sub> <sup>+</sup>
	58	100		CH <sub>2</sub> = N <sup>+</sup> (CH <sub>3</sub> ) <sub>2</sub>

<sup>a</sup> Der Übergang von  $M^+$  zu ( $M^+ - C_2H_5$ ) ist durch entsprechende Übergangssignale bei  $m/e = 183,5/185,5/187,5/189,4$  belegt.

<sup>b</sup> Der Übergang von  $M^+$  zu ( $M^+ - C_2H_5$ ) ist durch entsprechende Übergangssignale bei  $m/e = 225/227/229$  belegt.

Sila-Mephenhydramin und A bzw. von Sila-Chlorphenoxamin und B ergibt, daß die durchgeführten Strukturabwandlungen auf die anticholinerge und muskulotrop spasmolytische Wirkung praktisch keinen Einfluß haben. Dagegen ist die histaminolytische Aktivität von A und B im Vergleich zum Sila-Mephenhydramin bzw. Sila-Chlorphenoxamin erheblich abgeschwächt. Der Histamin-Antagonismus nimmt sowohl durch die Verlängerung der Aminoalkoxygruppe als auch durch die

Äthylsubstitution am Si-Atom stark ab (1 : 20 bzw. 1 : 75). Der letztgenannte Befund steht im Einklang mit einer analogen Struktur—Wirkungsbeziehung<sup>8</sup> zwischen dem Chlorphenoxamin und dessen entsprechendem Äthylderivat.

Auf Grund ihres hydrolytischen Abbaus ist die Bioaktivität von **A** und **B** nur von kurzer Dauer (etwa 16 Min., gemessen in Tyrodelösung bei einer Konzentration von  $10^{-6}$  Mol/l, pH 7,4, 37 °C). Verglichen mit dem Sila-Mephenhydramin hat **A** eine um etwa 21% verkürzte Wirkung, **B** wirkt dagegen etwa 5% länger als das Sila-Chlorphenoxamin.

Unser Dank gilt dem Verband der Chemischen Industrie, Frankfurt am Main, für die Unterstützung mit Sachmitteln, der Bayer-AG, Leverkusen, für die Überlassung von Chlorsilanen, sowie Herrn Dr. *H.-U. Rossée* und Herrn Prof. Dr. *F. Meyer* für die pharmakologischen Untersuchungen an den neu dargestellten Verbindungen.

### Literatur

- <sup>1</sup> 4. Mitt.: *R. Tacke* und *U. Wannagat*, **107**, 449 (1976).
- <sup>2</sup> Mit Auszügen aus der Dissertation *R. Tacke*, Techn. Univ. Braunschweig 1974.
- <sup>3</sup> *R. Tacke* und *U. Wannagat*, Mh. Chem. **106**, 1005 (1975).
- <sup>4</sup> *R. Tacke* und *U. Wannagat*, Mh. Chem. **107**, 111 (1976).
- <sup>5</sup> *R. Tacke* und *U. Wannagat*, Mh. Chem. **107**, 439 (1976).
- <sup>6</sup> Dissertation *H.-U. Rossée*, Techn. Univ. Braunschweig 1974.
- <sup>7</sup> *G. V. Motsarev*, *V. T. Inshakova*, *V. I. Kolbasov* und *R. V. Dzhagatspanyan*, Zh. Obshch. Khim. **41**, 1573 (1971); Chem. Abstr. **75**, 129871 (1971).
- <sup>8</sup> *H. Arnold*, *N. Brock*, *E. Kühas* und *D. Lorenz*, Arzneimittel-Forsch. **4**, 189 (1954).

Korrespondenz und Sonderdrucke:

*Dr. R. Tacke*  
*Institut für Anorganische Chemie*  
*Technische Universität Braunschweig*  
*Pockelsstraße 4*  
*D-3300 Braunschweig*  
*Bundesrepublik Deutschland*

## Isoelektronische Derivate des Sila-Clofenetamins und des Sila-Mebrophenhydramins

(Sila-Pharmaka, 6. Mitt.<sup>1)</sup>)

Von

Reinhold Tacke<sup>2</sup> und Ulrich Wannagat

Institut für Anorganische Chemie, Technische Universität Braunschweig,  
Bundesrepublik Deutschland

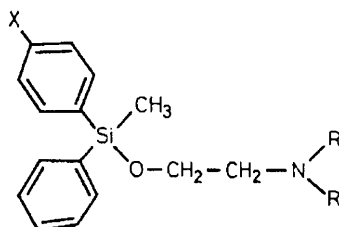
(Eingegangen am 10. Mai 1976)

### *Isoelectronic Derivatives of Sila-Clofenetamine and Sila-Mebrophenhydramine*

Isoelectronic derivatives (**A** and **B**) and a homolog (**C**) of the two sila-antihistamines sila-clofenetamine and sila-mebrophenhydramine were synthesized for the first time by the steps shown in scheme 1. They and their unknown precursors II–IV were characterized by their physical (Table 1) and chemical properties and their structures confirmed by <sup>1</sup>H-NMR and mass spectroscopy (Tables 2 and 3). The pharmacological effects of **A** and **B** were investigated and compared with those of the corresponding O-isosteric sila-antihistamines (Chapter 5).

### 1. Einführung

Im Rahmen unserer Arbeiten über Sila-Pharmaka konnten wir bereits früher verschiedene Silicium-Analoga der Benzhydryläther-Antihistaminika<sup>3–5</sup> synthetisieren. Die bisher untersuchten Vertreter dieser Verbindungs-Klasse [ $X = \text{CH}_3$ , H, Cl, Br und  $\text{NR}_2 = \text{N}(\text{CH}_3)_2$ ,  $\text{N}(\text{C}_2\text{H}_5)_2$ , Morpholino] besitzen u. a. histaminolytische, anticholinerge

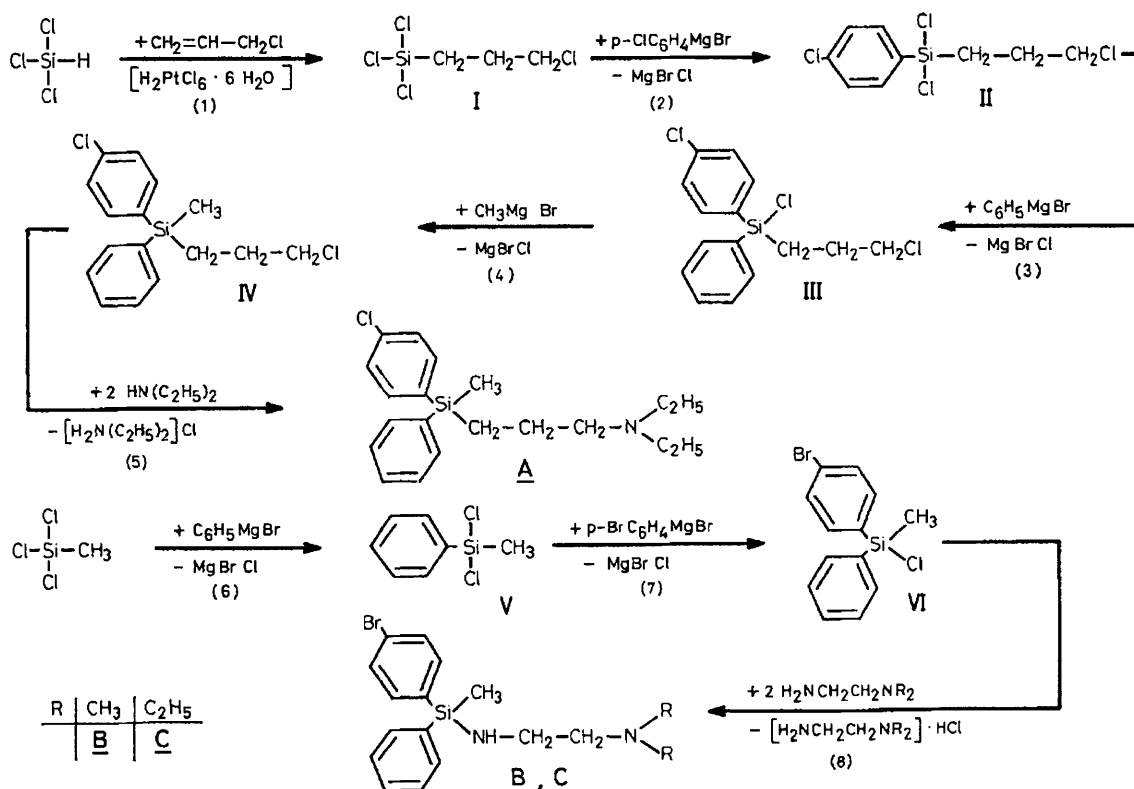


und muskulotrop spasmolytische Eigenschaften<sup>6</sup>, wobei die erstgenannte Wirkqualität stets am stärksten ausgeprägt ist.

Während die pharmakologischen Wirkungen durch Variation von X und R nur wenig beeinflußt werden, führen andere Strukturabwandlungen zu starken Veränderungen. So bedingt sowohl eine N-Quaternierung<sup>7</sup> als auch ein Austausch einer Phenylgruppe gegen eine Norbornenylgruppe<sup>8</sup> einen deutlichen Verlust an histaminolytischer Aktivität und einen starken Gewinn anticholinerger Wirkung. Die Verlängerung der Aminoalkoxygruppe<sup>1</sup> durch eine CH<sub>2</sub>-Gruppe sowie die Substitution<sup>1</sup> einer Si—CH<sub>3</sub>- durch eine Si—C<sub>2</sub>H<sub>5</sub>-Gruppe führt ebenfalls zu einer erheblichen Abschwächung der histaminolytischen Aktivität, während die beiden anderen Wirkqualitäten hierdurch nur wenig verändert werden.

Allen bisher dargestellten Sila-benzhydryläthern und ihren Derivaten ist eine kurze Wirkungsdauer (< 30 Min.) gemeinsam, da die Verbindungen an der Si—O—C-Bindung hydrolytisch gespalten werden.

Skizze 1. Zur Darstellung der isoelektronischen Derivate A und B des Sila-Clofenetamins und des Sila-Mebrophenhydramins



In Fortführung unserer Untersuchungen an Sila-benzhydryläthern haben wir weitere Veränderungen am Strukturgerüst dieser Verbindungen vorgenommen und in Hinblick auf die biologische Aktivität und das Hydrolyseverhalten untersucht. Im folgenden soll über die



Darstellung und Eigenschaften von isoelektronischen Derivaten des Sila-Clofenetamins ( $X = \text{Cl}$ ,  $R = \text{C}_2\text{H}_5$ ) und Sila-Mebrophenhydramins ( $X = \text{Br}$ ,  $R = \text{CH}_3$ ) berichtet werden, bei denen das O-Atom durch eine  $\text{CH}_2$ -Gruppe ( $\rightarrow \text{A}$ ) bzw. eine  $\text{NH}$ -Gruppe ( $\rightarrow \text{B}$ ) ersetzt ist.

## 2. Die Darstellung der isosteren Sila-benzhydryläther-Derivate A, B und C sowie ihrer Vorstufen

Zur Darstellung von A wurde zunächst nach bekanntem Verfahren<sup>9</sup> durch Addition (Rk. 1) von Allylchlorid an Trichlorsilan (in Gegenwart katalytischer Mengen  $\text{H}_2\text{PtCl}_6 \cdot 6 \text{H}_2\text{O}$ ) 3-Chlorpropyl-trichlorsilan (I) synthetisiert. Dieses ließ sich durch Umsetzung mit p-Chlorphenylmagnesiumbromid (Rk. 2) in II und durch weitere Reaktion mit Phenylmagnesiumbromid (Rk. 3) in III überführen. Durch eine letzte Grignardstufe mit Methylmagnesiumbromid (Rk. 4) entstand IV, das durch Umsetzung mit Diäthylamin im Bombenrohr (Rk. 5) schließlich A ergab (s. Skizze 1).

Zur Darstellung von B und C wurde, von Methyltrichlorsilan ausgehend, nach bekanntem Verfahren durch stufenweise Reaktion mit Phenylmagnesiumbromid (Rk. 6)<sup>10</sup> und p-Bromphenylmagnesiumbromid (Rk. 7)<sup>11</sup> über V zunächst VI synthetisiert. Dieses reagierte gemäß Rk. (8) mit den entsprechenden N,N-Dialkyläthylendiaminen zu B bzw. C (s. Skizze 1).

## Experimenteller Teil

Die Darstellung von I, V und VI erfolgte in Anlehnung an die angegebenen Literaturzitate.

Die Synthese von II—IV gelang in der üblichen Weise durch Grignardreaktionen, die problemlos abliefen; bei der Aufarbeitung traten aber Schwierigkeiten auf, da sich die Verbindungen bei der Destillation aus den Rohprodukten z. T. durch  $\gamma$ -Eliminierung zersetzten (besonders III und IV). So wurde z. B. bei der Vakuumdestillation von III aus dem Rohprodukt mehrfach eine fast quantit. Zersetzung zu p-Chlorphenyl-phenyl-dichlorsilan beobachtet. Durch eine möglichst vollständige Entfernung der Mg-Salze und von nicht umgesetztem Grignardreagens (durch Fällung mit *THF* und *PÄ* und nachfolgende Filtration über wasserfr.  $\text{Na}_2\text{SO}_4$ ) konnte die  $\gamma$ -Eliminierung jedoch weitgehend unterdrückt werden. Zur Isolierung von reinem IV erwies es sich außerdem als nützlich, vor der Destillation etwas Diäthylamin zuzugeben.

### 3-Chlorpropyl-(p-chlorphenyl)-dichlorsilan (II)

Gemäß Rk. (2) tropft man zu 212 g (1 Mol) I in 500 ml Diäthyläther (= Ä) eine Lösung von 1 Mol p-Chlorphenylmagnesiumbromid in 800 ml Ä, rührt 2 Stdn. unter Rückfluß weiter, tropft anschließend in der Hitze langsam 200 ml *THF* hinzu, rührt 12 Stdn. bei 20 °C, filtriert von den Mg-Salzen, zieht das Lösungsmittel bei 20 °C im Vak. möglichst vollständig

ab, nimmt den Rückstand in 600 ml Petroläther (40/65 °C = *PÄ*) auf, filtriert über eine Schicht von wasserfr.  $\text{Na}_2\text{SO}_4$  und zieht das Lösungsmittel bei 20 °C im Vak. vollständig ab. Anschließend nimmt man den Rückstand erneut in 600 ml *PÄ* auf und filtriert nochmals über  $\text{Na}_2\text{SO}_4$ , zieht das Lösungsmittel ab und destilliert im Vak. über eine Vigreux-, anschließend über eine Drehbandkolonne. Ausb. 132,5 g II (46%).

*3-Chlorpropyl-(p-chlorphenyl)-phenyl-chlorsilan (III)*

Gemäß Rk. (3) durch Zutropfen einer Lösung von 0,2 Mol  $\text{C}_6\text{H}_5\text{MgBr}$  in 160 ml *Ä* zu 57,6 g (0,2 Mol) II in 100 ml *Ä*. Reaktionsbedingungen und Aufarbeitung analog zu Rk. (2). Ausb. 26,4 g III (40%).

*3-Chlorpropyl-(p-chlorphenyl)-methyl-phenylsilan (IV)*

Gemäß Rk. (4) durch Zutropfen einer Lösung von 0,1 Mol  $\text{CH}_3\text{MgBr}$  in 200 ml *Ä* zu 33 g (0,1 Mol) III in 50 ml *Ä*. Anschließend 2 Stdn. Rückfluß, Fällung von Mg-Salzen mit 50 ml *THF*, 12 Stdn. Rühren bei 20 °C, Filtration von den Mg-Salzen, Abziehen des Lösungsmittels bei 20 °C im Vak., Aufnehmen des Rückstandes in 250 ml *PÄ* und Filtration über  $\text{Na}_2\text{SO}_4$ . Das Filtrat wird anschließend mit 4,4 g Diäthylamin versetzt. Man läßt 30 Min. stehen, filtriert von den ausgefallenen Salzen über  $\text{Na}_2\text{SO}_4$ , zieht das Lösungsmittel ab und destilliert den Rückstand im Vak. zunächst über eine Vigreux-, dann über eine Drehbandkolonne. Ausb. 16,4 g IV (53%).

*N,N-Diäthyl-3-(p-chlorphenyl-methyl-phenylsilyl)-propylamin (A) Rk. (5)*

Man bringt 15,5 g (0,05 Mol) IV und 18,3 g (0,25 Mol) Diäthylamin für 15 Stdn. im Bombenrohr bei 150 °C zur Reaktion, versetzt das Reaktionsgemisch anschließend mit 150 ml *PÄ*, filtriert vom ausgefallenen  $\text{Et}_2\text{NH} \cdot \text{HCl}$  über eine Schicht von  $\text{Na}_2\text{SO}_4$ , zieht das Lösungsmittel ab und fraktioniert im Vak. 2mal über eine Vigreux-Kolonne. In der Hauptfraktion finden sich 14,4 g A (83%).

*N,N-Dimethyl-N'-(p-bromphenyl-methyl-phenylsilyl)-äthylendiamin (B) Rk. (8)*

Man tropft zu 17,6 g (0,2 Mol) N,N-Dimethyläthylendiamin in 200 ml *PÄ* bei 20 °C langsam und unter starkem Rühren eine Lösung von 15,6 g (0,05 Mol) VI in 100 ml *PÄ*, wobei sofort das Hydrochlorid des Diamins ausfällt. Nach Beendigung des Zutropfens rührt man 1 Stde. bei 20 °C, dann 4 Stdn. unter Rückfluß weiter, filtriert vom Hydrochlorid, wäscht den Niederschlag mit jeweils 50 ml *PÄ*, zieht das Lösungsmittel ab, destilliert den Rückstand im Vak., nimmt die Hauptfraktion anschließend in 150 ml *PÄ* auf, filtriert über eine Schicht von  $\text{Na}_2\text{SO}_4$  von erneut ausgefallenem Hydrochlorid, zieht das Lösungsmittel ab und fraktioniert im Vak. 2mal über eine Vigreux-Kolonne. Ausb. 12,9 g B (71%).

*N,N-Diäthyl-N'-(p-bromphenyl-methyl-phenylsilyl)-äthylendiamin (C) Rk. (8)*

Analog zur Darstellung von B aus 23,2 g N,N-Diäthyl-äthylendiamin und 15,6 g VI. Ausb. 14,3 g C (73%).

### 3. Chemische und physikalische Eigenschaften der neu dargestellten Verbindungen

Die Vorstufen I, V und VI waren bereits gut bekannt (Darstellung und Eigenschaften: I<sup>9</sup>, V<sup>10, 12, 13</sup>, VI<sup>11</sup>). Die von uns ermittelten Siedepunkte, Brechungsindices und Dichten stimmten weitgehend mit den Literaturangaben überein<sup>2, 3, 5</sup>.

Die neu dargestellten Vorstufen II—IV sind wasserklare, farblose Flüssigkeiten, die sich gut in den üblichen inerten organischen Solventien lösen. Sie sind mit Ausnahme von IV hydrolyseempfindlich.

II—IV wurden bisher noch nicht in der Literatur beschrieben; es wird lediglich über ein Gemisch stellungsisomerer Verbindungen des Typs *MePh*(C<sub>6</sub>H<sub>4</sub>Cl)Si(CH<sub>2</sub>)<sub>3</sub>Cl berichtet<sup>14</sup>, das durch Umsetzung eines entsprechenden Isomerengemisches von *MePh*(C<sub>6</sub>H<sub>4</sub>Cl)SiH mit Allylchlorid erhalten wurde.

A, B und C sind ölige Flüssigkeiten, die sich gut in den gängigen organischen Lösungsmitteln wie *P*Ä, Et<sub>2</sub>O, C<sub>6</sub>H<sub>6</sub>, CHCl<sub>3</sub>, CH<sub>2</sub>Cl<sub>2</sub> oder CCl<sub>4</sub>, dagegen schlecht in Wasser lösen. A ist bei einer Konzentration von 10<sup>-6</sup> Mol/l in Tyrodelösung (pH 7,4, 37 °C) über mehr als 2 Stdn. stabil, während B und C unter den gleichen Bedingungen durch hydrolytische Spaltung der Si—N-Bindung offensichtlich so rasch zerfallen, daß im Gegensatz zu A und den O-Isosteren keine pharmakologischen Effekte der Si—N-Verbindungen gemessen werden konnten (s. Kap. 5).

A, B und C sind im Vak. unzersetzt destillierbar. Bemerkenswert ist, daß bei der Destillation der 3-Chlorpropylsilane II—IV aus den Rohprodukten z. T. eine  $\gamma$ -Eliminierung auftritt. Diese ist vermutlich auf die Anwesenheit von Mg-Halogeniden und (oder) nicht umgesetztem Grignard-Reagens zurückzuführen. Die reinen Silane II—IV sind dagegen weitgehend unzersetzt im Vak. destillierbar.

### 4. Zur Strukturermittlung der neu dargestellten Verbindungen

wurden neben den Elementaranalysen (Tab. 1) vor allem <sup>1</sup>H-NMR- und Massenspektren herangezogen.

Die Kernresonanzspektren (Tab. 2) sind mit ihren vielen Signalgruppen auf Grund der charakteristischen chemischen Verschiebung und Multiplizität sehr nützlich und aussagekräftig. Die gemessenen Daten liegen weitgehend alle im Erwartungsbereich.

Die Massenspektren (Tab. 3) erwiesen sich auf Grund der charakteristischen Halogenisotopenmuster ebenfalls als sehr aussagekräftig. B und C zeigen in ihrem Fragmentierungsverhalten eine gewisse Verwandtschaft mit den O-isosteren Verbindungen<sup>3-5</sup>. Bemerkenswert

ist allerdings, daß in den Spektren von **B** und **C** neben den aus einer  $\alpha$ -Spaltung hervorgegangenen  $\text{CH}_2=\text{NR}_2^\oplus$ -Ionen auch die entsprechenden  $\text{>Si-NH=CH}_2^\oplus$ -Ionen auftreten. In den Spektren (Routine-Messungen) der O-Isosteren sind nur die  $\text{CH}_2=\text{NR}_2^\oplus$ -Ionen auffindbar. Sie liefern in jedem Fall den Basispeak. Im Massenspektrum von **A** dominiert ebenfalls das durch  $\alpha$ -Spaltung entstehende  $\text{CH}_2=\text{N}(\text{C}_2\text{H}_5)_2^\oplus$ -Ion.

Tabelle 1. *Physikalische und elementaranalytische<sup>a</sup> Daten der neu dargestellten Verbindungen*

Lfd. Nr.	Summenformel <sup>b</sup>	Sdp., °C/Torr	$D_4^{20}$	$n_D^{20}$	% C gef. (ber.)	% H gef. (ber.)
II	$\text{C}_9\text{H}_{10}\text{Cl}_4\text{Si}$	119—120/1	1,3364	1,5489	37,68 (37,52)	3,59 (3,50)
III	$\text{C}_{15}\text{H}_{15}\text{Cl}_3\text{Si}$	155—157/0,01	1,2448	1,5851	53,84 (54,64)	4,46 (4,59)
IV	$\text{C}_{16}\text{H}_{18}\text{Cl}_2\text{Si}$	155—157/0,2	1,1457	1,5773	61,65 (62,13)	5,75 (5,87)
A	$\text{C}_{20}\text{H}_{28}\text{ClNSi}$	179—181/0,5	1,0269	1,5490	69,50 (69,43)	8,04 (8,16)
B	$\text{C}_{17}\text{H}_{23}\text{BrN}_2\text{Si}$	154—155/0,1	1,2000	1,5693	55,07 (56,19)	6,27 (6,38)
C	$\text{C}_{19}\text{H}_{27}\text{BrN}_2\text{Si}$	183—184/0,5	1,1663	1,5585	57,75 (58,30)	6,86 (6,95)

<sup>a</sup> Weitere elementaranalytische Daten sind in <sup>2</sup> aufgeführt.

<sup>b</sup> Molgew. bestätigt durch Molpeak im Massenspektrum (Tab. 3).

Bemerkenswert ist, daß die Verbindungen II—IV im Massenspektrometer einer  $\text{C}_3\text{H}_6$ -Eliminierung (Cyclopropan oder Propylen?) unterliegen. Im Massenspektrum von I ergibt das  $\text{C}_3\text{H}_6^\oplus$ -Ion sogar den intensivsten Peak und ist auch im Spektrum von II noch mit einer Intensität von 44% vorhanden. Dieses besondere Verhalten dürfte auf die gemeinsame 3-Chlorpropylgruppe zurückzuführen sein. In den Spektren von I—IV (Routine-Messungen) existieren keine Übergangssignale für eine elektronenstoßinduzierte  $\text{C}_3\text{H}_6$ -Eliminierung, so daß wir nicht mit Sicherheit sagen können, ob dieser Prozeß thermisch oder elektronenstoßinduziert ist.

### 5. Pharmakologische Eigenschaften von A und B

Die pharmakologischen Untersuchungen wurden in enger Zusammenarbeit am Institut für Pharmakologie und Toxikologie der Technischen Universität Braunschweig von H.-U. Rossée und F. Meyer durch-

Tabelle 2.  $^1\text{H}$ -NMR-Spektren der neu dargestellten Verbindungen, Chemische Verschiebungen in  $\delta$  [ppm], Lösungsmittel:  $\text{CCl}_4$  (II—IV, A) bzw.  $\text{CDCl}_3$  (B und C), Standard intern: TMS

Lfd. Nr.	$\delta$ $^1\text{H}$	Multiplizität	rel. Intensität	Zuordnung
II	1,0—2,4	m	4	$\text{SiCH}_2\text{CH}_2\text{C}$
	3,48	t	2	$\text{CCH}_2\text{Cl}$
	7,48 <sup>a</sup>	m	4	$\text{SiC}_6\text{H}_4\text{Cl}$
III	1,0—2,3	m	4	$\text{SiCH}_2\text{CH}_2\text{C}$
	3,42	t	2	$\text{CCH}_2\text{Cl}$
	7,0—7,8	m	9	$\text{SiC}_6\text{H}_5$ , $\text{SiC}_6\text{H}_4\text{Cl}$
IV	0,50	s	3	$\text{SiCH}_3$
	0,7—2,1	m	4	$\text{SiCH}_2\text{CH}_2\text{C}$
	3,52	t	2	$\text{CCH}_2\text{Cl}$
	7,0—7,8	m	9	$\text{SiC}_6\text{H}_5$ , $\text{SiC}_6\text{H}_4\text{Cl}$
A	0,50	s	3	$\text{SiCH}_3$
	0,7—1,8	m	10	$\text{SiCH}_2\text{CH}_2\text{C}$
	0,94	t		$\text{CCH}_3$
	2,43	q	6	$\text{NCH}_2\text{C}$
	2,37	t		$\text{CCCH}_2\text{N}$
	7,0—7,8	m	9	$\text{SiC}_6\text{H}_5$ , $\text{SiC}_6\text{H}_4\text{Cl}$
B	0,54	s	3	$\text{SiCH}_3$
	1,5 <sup>b</sup>		1	NH
	1,9—3,1	m	10	$\text{NCH}_2\text{CH}_2\text{N}$
	2,13	s		$\text{NCH}_3$
	7,1—7,8	m	9	$\text{SiC}_6\text{H}_5$ , $\text{SiC}_6\text{H}_4\text{Br}$
C	0,56	s	3	$\text{SiCH}_3$
	0,96	t	6	$\text{CCH}_3$
	1,5 <sup>b</sup>		1	NH
	2,1—3,2	m	8	$\text{NCH}_2\text{CH}_2\text{N}$
	2,47	q		$\text{NCH}_2\text{C}$
	7,1—7,8	m	9	$\text{SiC}_6\text{H}_5$ , $\text{SiC}_6\text{H}_4\text{Br}$

<sup>a</sup> Zentrum eines symmetrischen Multipletts vom  $AA'BB'$ -System.

<sup>b</sup> Zentrum eines breiten Signals.

geführt. Für ausführliche Informationen sei auf die Dissertation *Rossée* verwiesen<sup>6</sup>.

A und B wurden am isolierten Meerschweinchen-Ileum in Hinblick auf ihre histaminolytischen, anticholinergen und muskulotrop spasmolytischen Eigenschaften untersucht. Während B überhaupt keine Wirkungen zeigt, sind bei A alle drei Wirkqualitäten vorhanden. Der Vergleich von A mit dem isosteren Sila-Clofenetamin zeigt jedoch, daß der Ersatz des O-Atoms durch eine  $\text{CH}_2$ -Gruppe mit einem Verlust von etwa drei Vierteln der histaminolytischen Aktivität verbun-

Tabelle 3. *Einige charakteristische Schlüsselbruchstücke aus den Massenspektren der neu dargestellten Verbindungen.* Probeneinführung durch Direkteinlaß, Elektronenstoßionisierung mit 70 eV. (R = C<sub>6</sub>H<sub>4</sub>Cl, R' = C<sub>6</sub>H<sub>4</sub>Br, Me = CH<sub>3</sub>, Et = C<sub>2</sub>H<sub>5</sub>, Ph = C<sub>6</sub>H<sub>5</sub>)

Lfd. Nr.	<i>m/e</i>	rel. Intensität	Isotopenmuster	Ion
II	286/288/290/292/294	16/21/10/1/< 1	Cl <sub>4</sub>	M <sup>+</sup>
	244/246/248/250/252	29/39/19/3/< 1	Cl <sub>4</sub>	SiRCl <sub>3</sub> <sup>+</sup>
	209/211/213/215	100/97/34/3	Cl <sub>3</sub>	SiRCl <sub>2</sub> <sup>+</sup>
	174/176/178	96/86/30	Cl <sub>2</sub>	SiRCl <sup>+</sup>
	139/141	7/2	Cl	SiR <sup>+</sup>
	133/135/137/139	47/47/15/7	Cl <sub>3</sub>	SiCl <sub>3</sub> <sup>+</sup>
	63/65	45/15	Cl	SiCl <sup>+</sup>
	42	44		C <sub>3</sub> H <sub>6</sub> <sup>+</sup>
III	328/330/332/334	30/31/11/2	Cl <sub>3</sub>	M <sup>+</sup>
	286/288/290/292	64/72/30/3	Cl <sub>3</sub>	SiRPhCl <sub>2</sub> <sup>+</sup>
	251/253/255	100/94/33	Cl <sub>2</sub>	SiRPhCl <sup>+</sup>
	216/218	33/16	Cl	SiRPh <sup>+</sup>
	209/211/213/215	25/23/8/< 1	Cl <sub>3</sub>	SiRCl <sub>2</sub> <sup>+</sup>
	105	7		SiPh <sup>+</sup>
	63/65	16/7	Cl	SiCl <sup>+</sup>
IV	308/310/312	< 1/< 1/< 1	Cl <sub>2</sub>	M <sup>+</sup>
	293/295/297	40/27/5	Cl <sub>2</sub>	M <sup>+</sup> —Me
	266/268/270	23/16/2	Cl <sub>2</sub>	SiRPhMeCl <sup>+</sup>
	251/253/255	72/48/8	Cl <sub>2</sub>	SiRPhCl <sup>+</sup>
	231/233	100/33	Cl	SiRPhMe <sup>+</sup>
	139/141	7/3	Cl	SiR <sup>+</sup>
	105	15		SiPh <sup>+</sup>
	63/65	29/9	Cl	SiCl <sup>+</sup>
A	345/347	10/3	Cl	M <sup>+</sup>
	330/332	2/< 1	Cl	M <sup>+</sup> —Me
	231/233	22/7	Cl	SiRPhMe <sup>+</sup>
	139/141	2/< 1	Cl	SiR <sup>+</sup>
	105	7		SiPh <sup>+</sup>
	86	100		CH <sub>2</sub> = NEt <sub>2</sub> <sup>+</sup>
	58	40		CH <sub>2</sub> = NHEt <sup>+</sup>
B	362/364	35/37	Br	M <sup>+</sup>
	347/349	1/1	Br	M <sup>+</sup> —Me
	304/306 <sup>a</sup>	92/95	Br	CH <sub>2</sub> = NH(SiR'PhMe) <sup>+</sup>
	275/277 <sup>a</sup>	99/100	Br	SiR'PhMe <sup>+</sup>
	105	26		SiPh <sup>+</sup>
	58	90		CH <sub>2</sub> = NMe <sub>2</sub> <sup>+</sup>
C	390/392	5/6	Br	M <sup>+</sup>
	375/377	< 1/< 1	Br	M <sup>+</sup> —Me
	304/306	5/5	Br	CH <sub>2</sub> = NH(SiR'PhMe) <sup>+</sup>
	275/277	22/23	Br	SiR'PhMe <sup>+</sup>
	105	8		SiPh <sup>+</sup>
	86 <sup>b</sup>	100		CH <sub>2</sub> = NEt <sub>2</sub> <sup>+</sup>
	58 <sup>b</sup>	44		CH <sub>2</sub> = NHEt <sup>+</sup>

<sup>a</sup> Der Zerfall von *m/e* = 304/306 zu *m/e* = 275/277 ist durch ein Übergangssignal bei *m/e* = 248,7/250,8 belegt.

<sup>b</sup> Der Zerfall von *m/e* = 86 zu *m/e* = 58 ist durch das entsprechende Übergangssignal bei *m/e* = 39,1 belegt.

den ist. Bezüglich der beiden anderen Wirkqualitäten verhalten sich A und sein Isosteres fast gleich.

Während die früher von uns beschriebenen Sila-benzhydryläther und deren Derivate auf Grund ihres hydrolytischen Abbaus unter in-vitro-Bedingungen (Tyrode-Lösung, pH 7,4, 37 °C) nur eine kurze Wirkdauer besitzen, ist A über eine Meßdauer von 2 Std. stabil.

Da bei B eine pharmakologische Aktivität nicht meßbar ist, obwohl eine solche auf Grund der Isosterie von der Struktur her durchaus zu erwarten wäre, liegt die Vermutung nahe, daß die Verbindung durch hydrolytische Spaltung der Si—N-Bindung so rasch zerfällt, daß eine Verdrängung des Agonisten von den Rezeptoren nicht in ausreichendem Maße stattfindet.

Unser Dank gilt dem Verband der Chemischen Industrie, Frankfurt am Main, für die Unterstützung mit Sachmitteln und der Bayer-AG, Leverkusen, für die Überlassung von Chlorsilanen. Besonders danken wir Herrn Dr. H.-U. Rossée und Herrn Prof. Dr. F. Meyer für die pharmakologischen Untersuchungen an den neu dargestellten Verbindungen.

#### Literatur

- <sup>1</sup> 5. Mitt.: R. Tacke und U. Wannagat, Mh. Chem. **107**, 1265 (1976).
- <sup>2</sup> Mit Auszügen aus der Dissertation R. Tacke, Techn. Univ. Braunschweig 1974.
- <sup>3</sup> R. Tacke und U. Wannagat, Mh. Chem. **106**, 1005 (1975).
- <sup>4</sup> R. Tacke und U. Wannagat, Mh. Chem. **107**, 111 (1976).
- <sup>5</sup> R. Tacke und U. Wannagat, Mh. Chem. **107**, 439 (1976).
- <sup>6</sup> Dissertation H.-U. Rossée, Techn. Univ. Braunschweig 1974.
- <sup>7</sup> R. Tacke und U. Wannagat, in Vorbereitung.
- <sup>8</sup> R. Tacke und U. Wannagat, Mh. Chem. **107**, 449 (1976).
- <sup>9</sup> J. W. Ryan, G. K. Menzie und J. L. Speier, J. Amer. Chem. Soc. **82**, 3601 (1960).
- <sup>10</sup> J. F. Hyde und R. C. Delong, J. Amer. Chem. Soc. **63**, 1194 (1941).
- <sup>11</sup> K. A. Andrianov, V. E. Nikitenkov und N. N. Sokolov, Izvest. Akad. Nauk SSSR, Otdel. Khim. Nauk **1960**, 1224; Chem. Abstr. **55**, 429 (1961).
- <sup>12</sup> A. D. Petrov, V. F. Mironov und V. G. Glukhovtsev, Izvest. Akad. Nauk SSSR, Otdel. Khim. Nauk **1954**, 1123; Chem. Abstr. **49**, 7510 (1955).
- <sup>13</sup> W. H. Daudt und J. F. Hyde, J. Amer. Chem. Soc. **74**, 386 (1952).
- <sup>14</sup> Z. V. Belyakova, M. G. Pomerantseva und S. A. Golubtsov, Zh. Obshch. Khim. **35**, 1048 (1965); Chem. Abstr. **63**, 9978 (1965).

Korrespondenz und Sonderdrucke:

Dr. R. Tacke  
 Institut für Anorganische Chemie  
 Technische Universität Braunschweig  
 Pockelsstraße 4  
 D-3300 Braunschweig  
 Bundesrepublik Deutschland